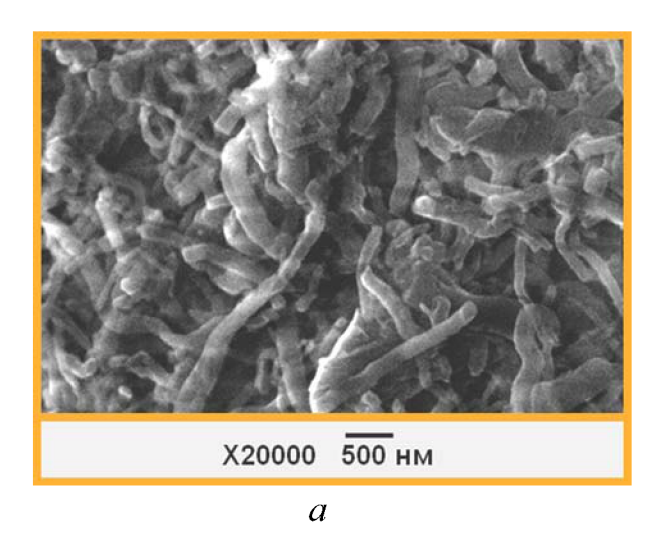
ВЛИЯНИЕ КІ НА МОРФОЛОГИЮ ЭЛЕКТРОЛИТИЧЕСКИХ ОСАДКОВ КРЕМНИЯ, ПОЛУЧЕННЫХ ИЗ ОКСИДНО-ГАЛОГЕНИДНЫХ РАСПЛАВОВ

© А. В. Исаков, А. П. Аписаров, О. В. Чемезов, Ю. П. Зайков, В. Б. Малков, 2013 Институт высокотемпературной электрохимии УрО РАН, Екатеринбург, Россия, ihte uran@mail.ru

Расплавы хлоридов и фторидов щелочных металлов, и их смесей широко используются для электролитического получения кремния. Структура электролитических осадков Si полученных из таких систем описана в литературе [1÷3]. Влияние анионов с большим ионным радиусом на структуру электролитических осадков кремния до сих пор не изучено. Поэтому целью данной работы было изучение влияния на морфологию электролитических осадков кремния добавок KI в хлоридно-фторидные электролиты на основе солей калия.

Соли и фторидно-хлоридные электролиты готовили по методике, описанной в работе [4]. Использовали индивидуальные соли KCl и KF·HF марки «х.ч.», K_2SiF_6 марки «ч.д.а.», KI марки «о.с.ч.» и диоксид кремния производства OAO «Русский магний».

Электрохимическое осаждение кремния проводили в расплавах, мол.%: KF(60)-KCl(30)- $K_2SiF_6(10)$ - SiO_2 и KF(40,5)-KCl(49,5)- $K_2SiF_6(10)$ - SiO_2 с добавками KI от 1 до 5 мол.%. Процесс вели при 973 K на графитовой подложке в атмосфере воздуха в графитовом тигле, который служил анодом.



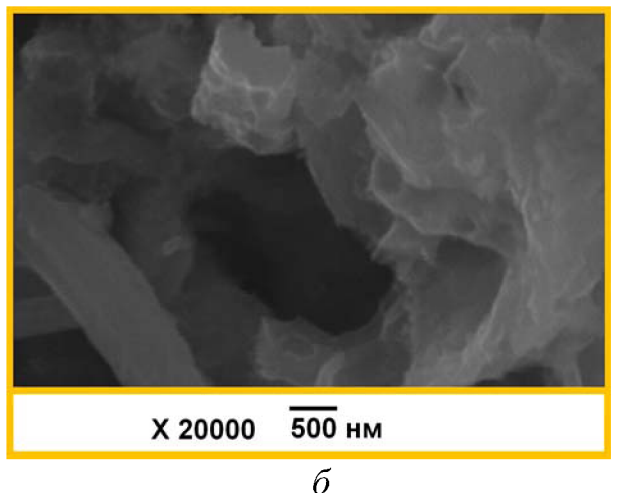


Рис. 1. SEM-микрофотографии осадка Si полученного электролизом расплава: $a-\mathrm{KF}(60,0)-\mathrm{KCl}(30,0)-\mathrm{K}_2\mathrm{SiF}_6(10,0)-\mathrm{SiO}_{2(\mathrm{Hac.})}$ (i_k = 0,02 A/cm², T=973 K); $\delta-\mathrm{KF}(58,2)-\mathrm{KCl}(29,1)-\mathrm{K}_2\mathrm{SiF}_6(9,7)-\mathrm{KI}(3,0)-\mathrm{SiO}_{2(\mathrm{Hac.})}$ (i_k = 0,02 A/cm², T=973 K).

В насыщенных по оксиду кремния расплавах введение йодида калия при прочих неизменных параметрах процесса электролиза приводит к укрупнению микрочастиц осадка кремния, структура меняется с волокнистой (рис. 1, a) на преимущественно губчатую (рис. $1, \delta$). Микрорентгеноспектральный анализ показал значительное увеличение содержания кислорода в осадке Si

полученного из электролита с добавками иодида калия. При этом структура электролитического осадка кремния в насыщенном по диоксиду кремния расплаве практически не зависит от количества KI в диапазоне от 1 до 5 мол.% и от мольного соотношения KF/KCl в диапазоне от 2 до 0,8 в расплаве растворителе.

В ненасыщенных по диоксиду кремния расплавах получены компактные слоистые осадки кремния (рис. 2), которые имеют трещины в радиальном направлении. В подобных расплавах без добавок иодида калия плотных осадков кремния получить не удалось — получаются микроволокнистые структуры кремния.

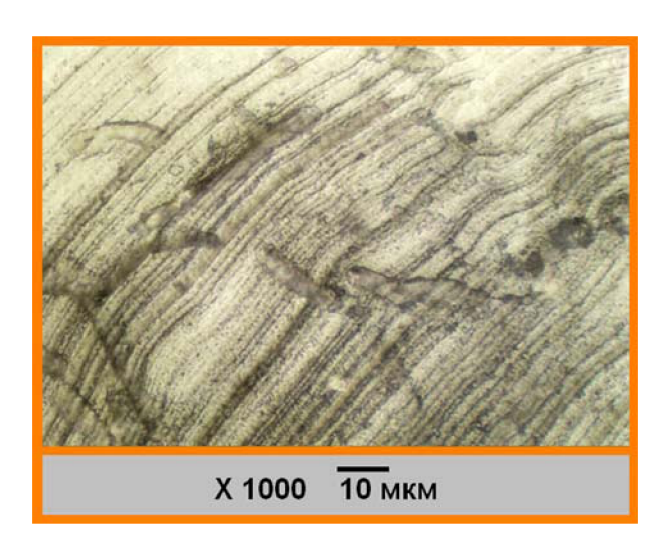


Рис. 2. Поперечные сечение осадка кремния полученного электролизом расплава KF(40,1)-KCl(49,0)- $K_2SiF_6(9,9)$ -KI(1,0)- $SiO_{2(HeHac.)}$ (i_k = 0,02 A/cm², T = 973 K)

Список литературы

- 1. Чемезов О. В., Виноградов-Жабров О. Н., Аписаров А. П., Исаков А. В., Поволоцкий И. М., Мурзакаев А. М., Малков В. Б., Зайков Ю. П. Структура нано- и микрокристаллических осадков кремния полученных электролитическим рафинированием Si в расплаве KCl-CsCl-KF-K₂SiF₆ // Перспективные материалы. 2010. № 9. С. 277–282.
- 2. Bieber A. L., Massot L., Gibilaro M., Cassayre L., Taxil P., Chamelo P. Silicon electrodeposition in molten fluorides // Electrochimica Acta. 2012. V. 62. P. 282–289.
- 3. Chemezov O., Apisarov A., Isakov A., Zaikov Yu. Structure silicon deposits obtained by electrolysis SiO₂ in the chloride- fluoride melts // EPD Congress 2012, TMS (The Minerals, Metals & Materials Sosciety). 2012. P. 493–498.
- 4. Zaikov Yu. P., Redkin A. A., Apisarov A. A., Korzun I. V., Kulik N. P., Isakov A.V., Kataev A. A., Chemezov O. V. Silica solubility in molten fluoride-chloride electrolytes and density of KF-KCl-K₂SiF₆-SiO₂ melts // J. of chemical and engineering data. 2013. № 58(4). P. 932–937.